

# Prevención de ataques ROP en ejecutables mediante instrumentación dinámica

**Miguel Martín Pérez**

Director: Ricardo J. Rodríguez  
Codirector: Víctor Viñals Yúfera

Diciembre de 2015  
Curso 15/16

Proyecto Fin de Carrera – Ingeniería en Informática  
**Escuela de Ingeniería y Arquitectura**  
Universidad de Zaragoza

# Contenidos

- 1 Ataques ROP
- 2 Prevención de ataques ROP
- 3 Pruebas y evaluación de los resultados
- 4 Trabajo relacionado
- 5 Conclusiones



# Contenidos

- 1 Ataques ROP
- 2 Prevención de ataques ROP
- 3 Pruebas y evaluación de los resultados
- 4 Trabajo relacionado
- 5 Conclusiones



# ¿Qué es un ataque ROP?

## Función vulnerable

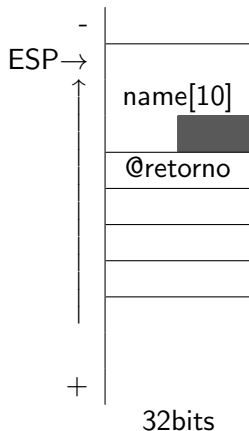
```
int hello ()
{
    char name[10];
    printf ("Enter your name:");
    scanf ("%s", name);
    printf ("Hello %s\n", name);
}
```



# ¿Qué es un ataque ROP?

## Función vulnerable

```
int hello ()
{
    char name [10];
    printf ("Enter your name:");
    scanf ("%s", name);
    printf ("Hello %s\n", name);
}
```



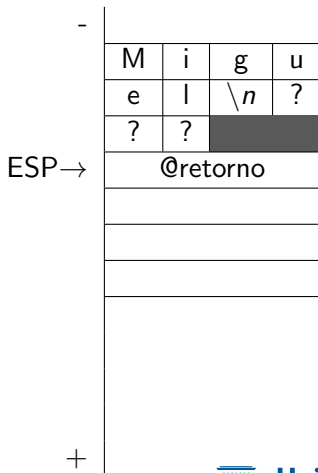
# ¿Qué es un ataque ROP?

## Función vulnerable

```
int hello ()
{
    char name[10];
    printf ("Enter your name:");
    scanf ("%s", name);
    printf ("Hello %s\n", name);
}
```

## Ejecución

```
Enter your name: Miguel
Hello Miguel
```



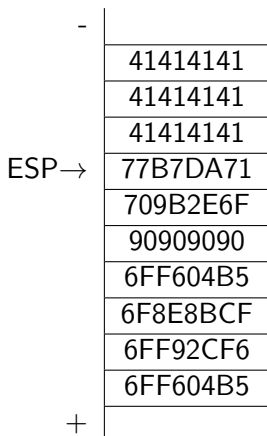
# ¿Qué es un ataque ROP?

## Función vulnerable

```
int hello ()
{
    char name [10];
    printf ("Enter your name:");
    scanf ("%s", name);
    printf ("Hello %s\n", name);
}
```

## Ejecución

```
Enter your name: AAAAAAAAAA
qÚ·wo.¿pööl;Žöö,ùöö
Hello AAAAAAAAAAqÚ·wo.¿pööl
¿Žöö,ùöö
```



# ¿Qué es un ataque ROP?

-			
	41414141		
	41414141		
	41414141		
ESP →	77B7DA71	→ PUSH ESP; POP EBP; RETN 4;	(gdi32.dll)
	709B2E6F	→ XCHG EAX, EBP; RETN;	(msctf.dll)
	90909090	Compensa "RETN 4"	
	6FF604B5	→ ADD EAX, C; RETN;	(msvcrt.dll)
	6F8E8BCF	→ XCHG EAX, ECX; RETN;	(usp10.dll)
	6FF92CF6	→ MOV EAX, ECX; RETN;	(msvcrt.dll)
	6FF604B5	→ ADD EAX, C; RETN;	(msvcrt.dll)
+			





# Características de los ataques ROP

- Encadenamiento de secuencias de instrucciones existentes en la memoria del proceso, *gadgets*, evadiendo  $W \oplus X$
- Ejecución de **comportamiento arbitrario**



# Características de los ataques ROP

- Encadenamiento de secuencias de instrucciones existentes en la memoria del proceso, *gadgets*, evadiendo  $W \oplus X$
- Ejecución de **comportamiento arbitrario**
- Arquitecturas de tamaño variable de instrucción
  - Instrucciones no alineadas
  - Permiten la ejecución de **instrucciones no intencionadas**
  - Facilitan la obtención de *gadgets*



# Características de los ataques ROP

- Encadenamiento de secuencias de instrucciones existentes en la memoria del proceso, *gadgets*, evadiendo  $W \oplus X$
- Ejecución de **comportamiento arbitrario**
- Arquitecturas de tamaño variable de instrucción
  - Instrucciones no alineadas
  - Permiten la ejecución de **instrucciones no intencionadas**
  - Facilitan la obtención de *gadgets*

```
F7 C7 07 00 00 00    TEST EDI,0x7
0F 95 45 C3          SETNE BYTE PTR SS:[EBP-0x3D]
```



# Características de los ataques ROP

- Encadenamiento de secuencias de instrucciones existentes en la memoria del proceso, *gadgets*, evadiendo  $W \oplus X$
- Ejecución de **comportamiento arbitrario**
- Arquitecturas de tamaño variable de instrucción
  - Instrucciones no alineadas
  - Permiten la ejecución de **instrucciones no intencionadas**
  - Facilitan la obtención de *gadgets*

```

C7 07 00 00 00 0F      MOV DWORD PTR DS:[EDI],0xF000000
95                      XCHG EAX,EBP
45                      INC EBP
C3                      RET
  
```



# Características de los ataques ROP

- Encadenamiento de secuencias de instrucciones existentes en la memoria del proceso, *gadgets*, evadiendo  $W \oplus X$
- Ejecución de **comportamiento arbitrario**
- Arquitecturas de tamaño variable de instrucción
  - Instrucciones no alineadas
  - Permiten la ejecución de **instrucciones no intencionadas**
  - Facilitan la obtención de *gadgets*

```

C7 07 00 00 00 0F      MOV DWORD PTR DS:[EDI],0xF000000
95                      XCHG EAX,EBP
45                      INC EBP
C3                      RET
  
```

- Conjunto completo de Turing: potencia computacional equivalente a la **máquina universal de Turing**



# Características de los ataques ROP

- Encadenamiento de secuencias de instrucciones existentes en la memoria del proceso, *gadgets*, evadiendo  $W \oplus X$
- Ejecución de **comportamiento arbitrario**
- Arquitecturas de tamaño variable de instrucción
  - Instrucciones no alineadas
  - Permiten la ejecución de **instrucciones no intencionadas**
  - Facilitan la obtención de *gadgets*

```

C7 07 00 00 00 0F      MOV DWORD PTR DS:[EDI],0xF000000
95                     XCHG EAX,EBP
45                     INC EBP
C3                     RET
  
```

- Conjunto completo de Turing: potencia computacional equivalente a la **máquina universal de Turing**
- Ataques JOP
  - Evolución ataques ROP: monitorización de **RETs**
  - Sustituir **RET** por “pop x; jmp x;”



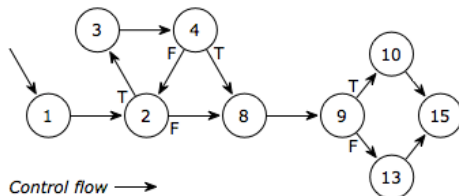
# Contenidos

- 1 Ataques ROP
- 2 **Prevenção de ataques ROP**
- 3 Pruebas y evaluación de los resultados
- 4 Trabajo relacionado
- 5 Conclusiones



# Modelo matemático

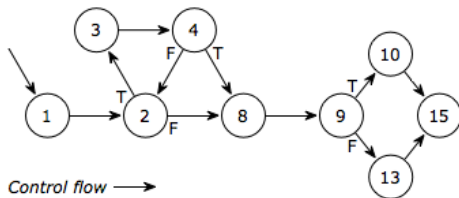
- *Control Flow Graph* (CFG): Modelo del comportamiento de un programa representado por **todos los caminos posibles**
  - Nodos representan Bloques Básicos (B): Secuencia de instrucciones con un único cambio de flujo en la última instrucción





# Modelo matemático

- *Control Flow Graph* (CFG): Modelo del comportamiento de un programa representado por **todos los caminos posibles**
  - Nodos representan Bloques Básicos (B): Secuencia de instrucciones con un único cambio de flujo en la última instrucción

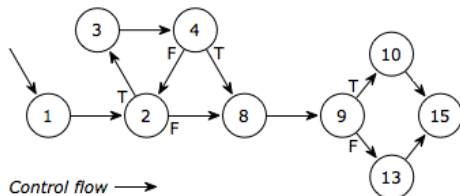


- *Control Flow Integrity* (CFI): Método que comprueba que el **camino seguido por un proceso pertenece al CFG** del programa



# Modelo matemático

- *Control Flow Graph* (CFG): Modelo del comportamiento de un programa representado por **todos los caminos posibles**
  - Nodos representan Bloques Básicos (B): Secuencia de instrucciones con un único cambio de flujo en la última instrucción



- *Control Flow Integrity* (CFI): Método que comprueba que el **camino seguido por un proceso pertenece al CFG** del programa
- Autómatas de pila deterministas (M): Modelo matemático que **reconoce si una palabra (proceso) pertenece a un lenguaje (CFG)**



# Modelo matemático

$$M = \langle Q, \Sigma, \Gamma, \Delta, q_0, Z, F \rangle$$

- $Q = \langle \text{Correcto}, \text{Fallo} \rangle$
- $\Sigma \subseteq B \times B$
- $\Gamma = B \cup \{\text{Vacía}\}$



# Modelo matemático

$$M = \langle Q, \Sigma, \Gamma, \Delta, q_0, Z, F \rangle$$

- $Q = \langle \text{Correcto}, \text{Fallo} \rangle$
- $\Sigma \subseteq B \times B$
- $\Gamma = B \cup \{\text{Vacía}\}$
- $Z = \text{Vacía}$
- $q_0, F = \{\text{Correcto}\}, F \subseteq Q$
- $E \subseteq (B \times B) \in \text{CFG}$



# Modelo matemático

$$M = \langle Q, \Sigma, \Gamma, \Delta, q_0, Z, F \rangle$$

- $Q = \langle \text{Correcto}, \text{Fallo} \rangle$

- $\Sigma \subseteq B \times B$

- $\Gamma = B \cup \{\text{Vacía}\}$

$$\Delta(q, (s, d), p) \begin{cases} (\text{Correcto}, p) \\ (\text{Correcto}, \text{SigB}(s)p) \\ (\text{Correcto}, \varepsilon) \\ (\text{Fallo}, \varepsilon) \end{cases}$$

- $Z = \text{Vacía}$

- $q_0, F = \{\text{Correcto}\}, F \subseteq Q$

- $E \subseteq (B \times B) \in \text{CFG}$

si  $q = \text{Correcto}; (s, d) \in E; \text{InstFlujo}(s) = \text{Branch}$

si  $q = \text{Correcto}; (s, d) \in E; \text{InstFlujo}(s) = \text{Call}$

si  $q = \text{Correcto}; (s, d) \in E; \text{InstFlujo}(s) = \text{Ret}; d = p$

sino



# Modelo matemático

$$M = \langle Q, \Sigma, \Gamma, \Delta, q_0, Z, F \rangle$$

- $Q = \langle \text{Correcto}, \text{Fallo} \rangle$

- $\Sigma \subseteq B \times B$

- $\Gamma = B \cup \{\text{Vacía}\}$

$$\Delta(q, (s, d), p) \begin{cases} (\text{Correcto}, p) \\ (\text{Correcto}, \text{Sig}B(s)p) \\ (\text{Correcto}, \varepsilon) \\ (\text{Fallo}, \varepsilon) \end{cases}$$

si  $q = \text{Correcto}; (s, d) \in E; \text{InstFlujo}(s) = \text{Branch}$

si  $q = \text{Correcto}; (s, d) \in E; \text{InstFlujo}(s) = \text{Call}$

si  $q = \text{Correcto}; (s, d) \in E; \text{InstFlujo}(s) = \text{Ret}; d = p$

sino

- $Z = \text{Vacía}$

- $q_0, F = \{\text{Correcto}\}, F \subseteq Q$

- $E \subseteq (B \times B) \in \text{CFG}$

## Protección de pila: Firma de pila

La pila del autómata (Z) almacena las direcciones de **retorno**; almacenando su **posición en pila** se consigue una **firma de pila** con la que protegerla



# Modelo matemático

$$M = \langle Q, \Sigma, \Gamma, \Delta, q_0, Z, F \rangle$$

- $Q = \langle \text{Correcto}, \text{Fallo} \rangle$

- $\Sigma \subseteq B \times B$

- $\Gamma = B \cup \{\text{Vacía}\}$

$$\Delta(q, (s, d), p) \begin{cases} (\text{Correcto}, p) & \text{si } q = \text{Correcto}; (s, d) \in E; \text{InstFlujo}(s) = \text{Branch} \\ (\text{Correcto}, \text{SigB}(s)p) & \text{si } q = \text{Correcto}; (s, d) \in E; \text{InstFlujo}(s) = \text{Call} \\ (\text{Correcto}, \varepsilon) & \text{si } q = \text{Correcto}; (s, d) \in E; \text{InstFlujo}(s) = \text{Ret}; d = p \\ (\text{Fallo}, \varepsilon) & \text{sino} \end{cases}$$

- $Z = \text{Vacía}$

- $q_0, F = \{\text{Correcto}\}, F \subseteq Q$

- $E \subseteq (B \times B) \in \text{CFG}$

## Protección de pila: Firma de pila

La pila del autómata (Z) almacena las direcciones de **retorno**; almacenando su **posición en pila** se consigue una **firma de pila** con la que protegerla

## Obtención del CFG de un programa es un proceso complejo

- Falta de etiquetas y símbolos en los ejecutables
- Cambios de flujo indirectos

## Simplificación del modelo y prueba de concepto

Redefinición de función de transición,  $\Delta : Q \times \Sigma \times \Gamma \rightarrow Q \times \Gamma^*$

$$\Delta(q, (s, d), p) \begin{cases} (\text{Correcto}, p) & \text{si } q = \text{Correcto}; \text{InstFlujo}(s) = \text{Branch} \\ (\text{Correcto}, \text{SigB}(s)p) & \text{si } q = \text{Correcto}; \text{InstFlujo}(s) = \text{Call} \\ (\text{Correcto}, \varepsilon) & \text{si } q = \text{Correcto}; \text{InstFlujo}(s) = \text{Ret}; d = p \\ (\text{Fallo}, \varepsilon) & \text{sino} \end{cases}$$





# Simplificación del modelo y prueba de concepto

Redefinición de función de transición,  $\Delta : Q \times \Sigma \times \Gamma \rightarrow Q \times \Gamma^*$

$$\Delta(q, (s, d), p) \begin{cases} (\text{Correcto}, p) & \text{si } q = \text{Correcto}; \text{InstFlujo}(s) = \text{Branch} \\ (\text{Correcto}, \text{SigB}(s)p) & \text{si } q = \text{Correcto}; \text{InstFlujo}(s) = \text{Call} \\ (\text{Correcto}, \varepsilon) & \text{si } q = \text{Correcto}; \text{InstFlujo}(s) = \text{Ret}; d = p \\ (\text{Fallo}, \varepsilon) & \text{sino} \end{cases}$$

## PROPID: Prevencción de ataques ROP mediante Instrumentación Dinámica

Mediante Pin, *framework* de instrumentación dinámica, se implementa:

- Para cada hilo se crea un autómata: **sólo pila, *ShadowStack***
- Cada **CALL** **apila dirección de retorno y posición de pila** en *ShadowStack*
- Cada **RET** **desapila direcciones de retorno y posición de *ShadowStack*** y comprueba que **corresponden con la ejecución**
  - Si no coincide se genera un informe y se cierra el programa

## Demostración

Process Hacker (PROPID-PC\PROPID)

Reproductor de medios VLC

Process Hacker (PROPID-PC\PROPID)

Name	PPID	Private Bytes
System	0	0
csrss.exe	0	0
wininit.exe	300	368
conhost.exe	3244	3244
winlogon.exe	408	408
explorer.exe	1188	1188
cmd.exe	3216	3216
pin.exe	2560	2560
pin.exe	180	180
vlc.exe	3340	3340
ProcessHacker.exe	2328	2328

exploits

Buscar exploits

Organizar Nueva carpeta

Nombre	Fecha de modifica...	Tipo
old	11/12/2015 11:13	Carpeta d
myfile.mp4	11/12/2015 11:13	VLC medi

Nombre

- old
- comando.bt
- myfile.mp4
- myfile.rt
- vlc.exe1449831100
- vlcbof2.py

Ngmbre:  Archivos de Medios (\*.asf \*.avi)

Abrir Cancelar

C:\Users\PROPID>C:\pin\pin.exe -follow\_execv -t C:\Users\PROPID -- \"C:\Program Files\VideoLAN\VLC\vlc.exe\"

# Contenidos

- 1 Ataques ROP
- 2 Prevención de ataques ROP
- 3 Pruebas y evaluación de los resultados**
- 4 Trabajo relacionado
- 5 Conclusiones



# Pruebas de fiabilidad y rendimiento

## Detección de ataques

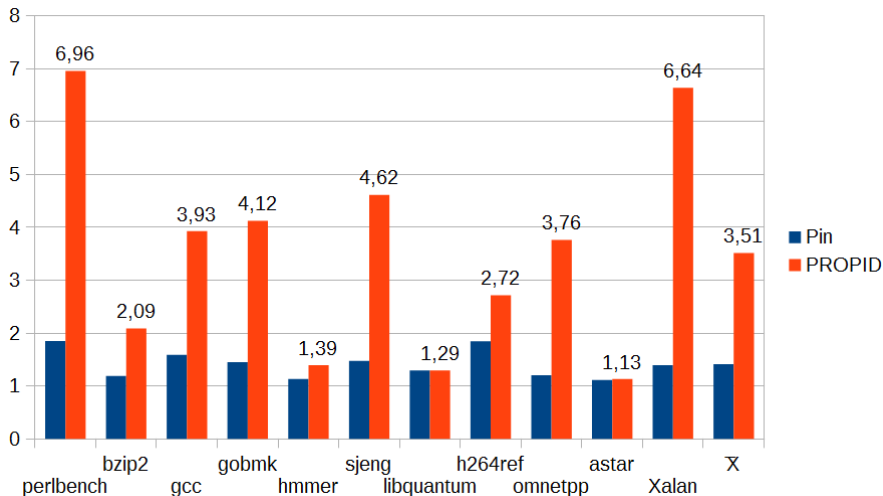
- Programa propio con vulnerabilidad intencionada
- Vulnerabilidad conocida en el reproductor VLC
- **Detección del 100% ataque antes de ejecutarse el 1º gadget**

## Falsos positivos y rendimiento

- SPECint2006, AMD Athlon II X2 270, 3.4GHz 2GiB RAM, Win7 SP1
- **0% falsos positivos**
- 60 ejecuciones: base, Pin, PROPID
- Sobrecarga media 3.5 veces la ejecución base
  - Confianza del 95% según distribución normal, error/media < 1%



# Resultados del benchmark SPEC CPUint06 comparando PROPID y Pin respecto a la ejecución base



# Contenidos

- 1 Ataques ROP
- 2 Prevención de ataques ROP
- 3 Pruebas y evaluación de los resultados
- 4 Trabajo relacionado**
- 5 Conclusiones



# Trabajo relacionado

## Estático

- [ABEL05] **etiquetan las funciones y sus retornos** con identificadores únicas y añaden código que verifica en ejecución
- [EAV<sup>+</sup>06] **comprueba al compilar que el código** es correcto y reordena las variables para reducir la vulnerabilidad del proceso, si no se consigue en compilación se añade código que lo verifica en ejecución
  - **Medidas estáticas:** si se evade el CFI nada bloquea el ataque

## Dinámico

- [PPK13] mediante **hardware específico de Intel** registran todos los cambios de flujos ejecutados por el proceso, cuando hay una llamada al sistema se verifica que la secuencia de saltos corresponde con la secuencia teórica
  - **Sólo aplicable en arquitecturas Intel con hardware *Last Branch Record***

# Contenidos

- 1 Ataques ROP
- 2 Prevención de ataques ROP
- 3 Pruebas y evaluación de los resultados
- 4 Trabajo relacionado
- 5 Conclusiones





# Conclusiones

## Contribución

- Primera solución que **unifica**, mediante un autómeta de pila:
  - Protección del flujo del proceso, CFI
  - Protección de pila, *ShadowStack*
- Prueba de Concepto muestra que:
  - **100% detecciones 0% falsos positivos**
  - Eficiencia mejorable, 3.5x de media, picos de 7x

## Trabajos futuros

- Estudio de otros DBIs para mejorar el rendimiento
- Implementación del modelo completo
- Firma de pila



# Prevención de ataques ROP en ejecutables mediante instrumentación dinámica

**Miguel Martín Pérez**

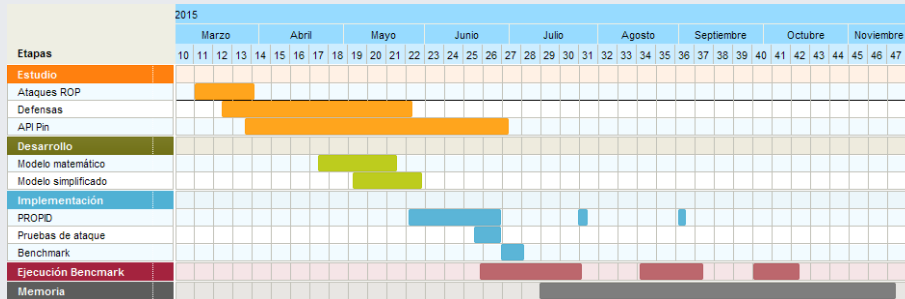
Director: Ricardo J. Rodríguez  
Codirector: Víctor Viñals Yúfera

Diciembre de 2015  
Curso 15/16

Proyecto Fin de Carrera – Ingeniería en Informática  
**Escuela de Ingeniería y Arquitectura**  
Universidad de Zaragoza

# Horas dedicadas

Tareas	Horas
Reuniones	20
Estudio Ataques ROP	50
Estudio otras defensas	290
Estudio API Pin	70
Modelo matemático	50
Implementación PROPID	30
Benchmark y pruebas	30
Memoria	180
<b>Total</b>	<b>720</b>



# Bibliografía

- **[ABEL05]** Abadi, M.; Budiu, M.; Erlingsson, U. Ligatti, J., **Control-flow integrity**, ACM, 2005
- **[EAV<sup>+</sup>06]** Erlingsson, U.; Abadi, M.; Vrable, M.; Budiu, M. Necula, G. C., **XFI: Software guards for system address spaces**, USENIX Association, 2006
- **[PPK13]** Pappas, V.; Polychronakis, M. Keromytis, A. D., **Transparent ROP Exploit Mitigation Using Indirect Branch Tracing**, USENIX Security, 2013

